

УДК 669.182

ІЗУЧЕННЯ ПЕРЕМЕШІВАННЯ ЖИДКОГО МЕТАЛЛА В КОВШЕ В ПРОЦЕССЕ ІНЖЕКЦІЇ МАТЕРІАЛОВ

Ю.В. Костецкий, А.В. Мач

Донецький національний технічний університет

Представлені результати комп’ютерного моделювання руху потоків рідкого металу в розливному ковші під час інжекції порошкових матеріалів крізь занурену зверху фурму відповідно до конкретних умов виробництва. Визначені швидкості і розподіл потоків металу для різних варіантів організації продування, сформульовані вимоги до розмірів часток, які інжектують в об’єм розплаву.

Вдувание порошкообразных материалов в объем металлической ванны в струе газа носителя обеспечивает высокую скорость протекания физико-химических процессов в сочетании с высокой степенью использования вдуваемых материалов, даже легкоплавких и легкоокисляющихся материалов [1-3].

Применение метода инжекции порошкообразных материалов в струе инертного газа позволило повысить эффективность процесса сульфидного рафинирования железоуглеродистых расплавов от растворенной меди [4,5]. При этом порошкообразную смесь реагентов, содержащих серу, вводят в объем расплавленного металла в потоке аргона с помощью погруженной фурмы. Для стимулирования образования дисперской сульфидной фазы в расплав также инжектируют твердые частицы огнеупорного материала, химически не взаимодействующего с расплавом. Важно, чтобы данные частицы распределялись по всему объему ванны. Однако восходящие потоки металла в зоне барботажа интенсивно выносят их на поверхность ванны, что снижает коэффициент их полезного использования.

В общем случае уравнение движения отдельной частицы может быть записано на основе второго закона Ньютона:

$$\frac{d(m\vec{\mathbf{U}}_p)}{d\tau} = \sum \vec{\mathbf{F}}, \quad (1)$$

где $\vec{\mathbf{U}}_p$ – скорость движения частицы, м/с;

$\vec{\mathbf{F}}$ – сила, действующая на частицу, Н;

m – масса частицы, кг.

Для адекватного описания траектории движения отдельных частиц в расплаве требуется учет сил тяжести, архимедовой силы, силы сопротивления, а для крупных частиц и сил, обусловленных наличием

присоединенной массы [6,7]. Характер движения твердых частиц, инжектированных в расплав, тесным образом связан с условиями движения потоков металла, возникающих под влиянием газовой струи и восходящего газожидкостного потока. Максимальный размер частиц, которые могут быть захвачены потоком металла, или минимальную скорость потока, при которой он может увлечь частицу определенного размера, можно оценить с помощью следующего неравенства [8]:

$$\frac{4}{3}\pi gr^3(\rho_m - \rho_p) \leq 6\pi r\eta_m u_m, \quad (2)$$

где r – радиус частицы, м;

ρ_m , ρ_p – плотность металла и частицы, кг/м³;

η_m – динамическая вязкость металла, Па·с;

g – ускорение свободного падения, м/с²;

u_m – скорость потока жидкого металла, м/с.

Отсюда:

$$u_m \geq \frac{2}{9} \frac{gr^2(\rho_m - \rho_p)}{\eta_m}. \quad (3)$$

Либо:

$$r \leq \left(\frac{9\eta_m u_m}{2g(\rho_m - \rho_p)} \right)^{0.5}. \quad (4)$$

Таким образом, располагая данными о направлении движения и скоростях потоков металла, формирующихся в объеме жидкотемпературной ванны в ходе продувки можно в первом приближении прогнозировать траекторию движения частиц, инжектированных в расплав.

Для решения гидродинамической задачи о движении жидкого металла в ковше воспользовались методом компьютерного моделирования с использованием прикладного пакета ANSYS. Математическая модель описания гидродинамического перемешивания жидкого металла базируется на уравнениях Навье-Стокса [9]. Она включает уравнение неразрывности в форме Эйлера (уравнение несжимаемости) и уравнение сохранения импульса. Для учета эффектов турбулентности была применена стандартная $k-\varepsilon$ модель, основанная на рассмотрении кинетической энергии пульсации скоростей k и скорости диссипации энергии ε . Константы, для стандартной $k-\varepsilon$ модели принимали равными $C_1=1,44$, $C_2=1,92$, $C_\mu=0,09$, $\sigma_k=1,0$, $\sigma_\tau=1,3$. Для моделирования взаимодействия аргона с металлом использовали VOF модель многофазных течений [10].

Задачу решали в двумерной постановке. Целью моделирования было исследование распределения и характеристик потоков жидкого

металла в объеме ванны в ходе инжекции материалов через погруженную фурму и выбор варианта организации продувки, обеспечивающего эффективное использование твердых частиц, инжектированных в расплав. Для двухтонного ковша было создано несколько геометрических и конечно-разностных моделей, учитывающих различное положение погруженной в расплав фурмы – осевое и эксцентричное, с глубинами погружения 0,55 м и 0,25 м. Донная фурма во всех случаях располагалась на удалении от центральной оси ковша равном 2/3 внутреннего радиуса днища ковша. Расход инертного газа через донную фурму в расчетах изменяли в интервале 1,2-6,4 л/мин, а расход через погруженную фурму во всех случаях оставался равным 56 л/мин.

Результатами расчета являлись значения векторов скорости и суммарная скорость в каждой узловой точке расчетной области.

На рис. 1 показаны результаты расчета, полученные при осевом расположении погруженной фурмы без дополнительной продувки через донную фурму. Эта расчетная схема соответствовала условиям инжекции материалов в опытно промышленных условиях. Видно, что нисходящие потоки у стенок ковша характеризуются малой интенсивностью и глубиной проникновения, в то время как интенсивный восходящий поток в зоне барботажа будет выносить частицы к поверхности ванны.

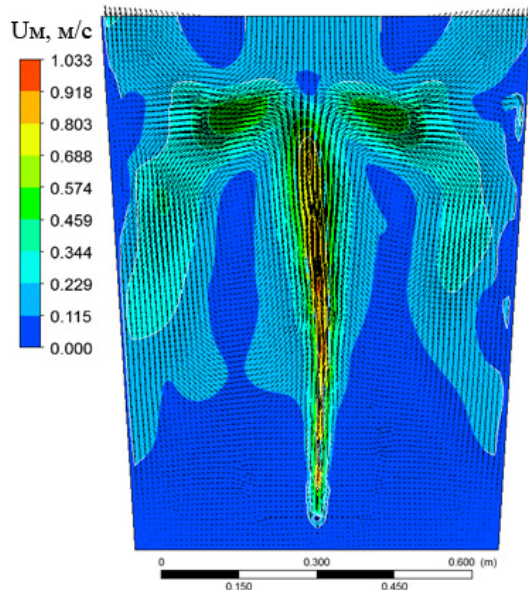


Рис.1. Поле скоростей жидкого металла при центральном расположении погруженной фурмы с глубиной погружения 0,8 м и расходом газа носителя 56 л/мин

Дополнительное вдувание газа через донную фурму с максимальным для заданных условий расходом газа в большинстве рассмотренных случаев обеспечивает необходимое нарушение целостности восходящего потока от погруженной фурмы и формирование интенсивных циркуляционных потоков в объеме металла. Это создает предпосылки для затягивания инжектированных частиц в объем ванны жидкого металла. Максимальные скорости потоков наблюдаются в зонах барботажа и достигают 0,9-1,0 м/сек. Основная масса металла движется со скоростями до 0,3-0,4 м/с. Расчет по формуле (4) показывает, что при такой скорости потоки метала должны увлекать частицы размером до $(5 \div 6) \cdot 10^{-4}$ м с плотностью 2200-3900 кг/м³.

Анализ результатов моделирования показывает, что наилучший результат с точки зрения целей моделирования достигается при максимальном заданном заглублении погруженной фурмы и эксцентричном ее расположении (рис. 2).

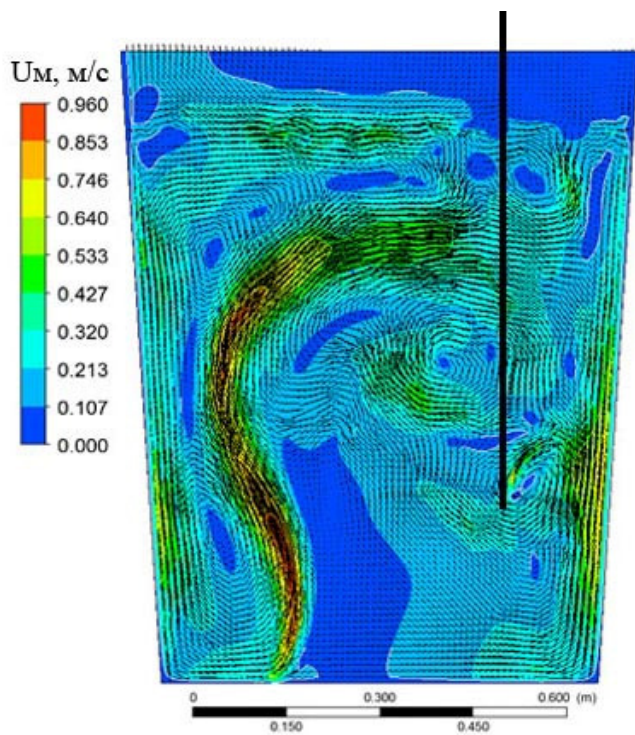


Рис. 2. Поле скоростей жидкого металла при эксцентричном расположении погруженной фурмы с глубиной погружения 0,55 м и расходом аргона через донную фурму 6,4 л/мин

Таким образом, проведенное компьютерное моделирование позволило определить наилучший вариант организации продувки, а

также сформулировать требования к размерам инжектируемых частиц для конкретных опытно-промышленных условий.

Библиографический список

1. Senk D. Dust Injection in Iron and Steel Metallurgy /D. Senk, H.W. Gudennau, S. Geimer, E.Gorbunova // ISIJ International. – 2006. – V46. – N12. – P. 1745-1751.
2. Ghosh A. Secondary Steelmaking: Principles and Application / A. Ghosh. – CRC Press, 2001. – 344 p.
3. Повоцкий Д.Я. Внепечная обработка стали /Кудрин В.А., Вишкарев А.Ф. – М. :МИСиС, 1995. – 255 с.
4. Костецкий Ю.В. Перспективы использования сульфидов для рафинирования железоуглеродистых расплавов от растворенной меди /Ю.В. Костецкий, В.П. Карпов, В.И. Омельченко, Д.Ю. Миронов // Металл и литье Украины. – 2005. - №3-4. – С.87-88.
5. Kostetsky Y. Advanced Technological Solutions for Quality Steel Production with Scrap Contaminated by Copper / Y. Kostetsky, V. Karpov, D. Mironov // Proceeding of the 2007 Symposium on Liquid Metal Processing and Casting. – Nancy : Ecole des Mines de Nancy, 2007. – P. 339-343.
6. Гутри Р.Л. Физико-химические и гидродинамические аспекты легирования расплава методом вдувания порошков / Р.Л. Гутри // Инжекционная металлургия'80, Лула, Швеция. – М.:Металлургия, 1982. – С.75-92.
7. Guthrie R. L. Fluid Flows in Metallurgy – Friend or Foe? / L.R. Guthrie // Metallurgical and Materials Transactions B. – 2004. – V 35, N3. – P. 417-437.
8. Минаев Ю.А. Физико-химия в металлургии. (Термодинамика, Гидродинамика, Кинетика) /Ю.А. Минаев, В.В. Яковлев. – М. : МИСиС, 2001. – 320 с.
9. Ландау Л.Я. Гидродинамика / Л.Я. Ландау, В.М. Лифшиц. – М. : Наука, 1986. – 710 с.
10. Ranade V. V. Computational Flow Modelling for Chemical Reactor Engineering / V.V. Ranade. – Academic Press, 2002. – 452 p.